

阪神高速道路公団

正会員 吉川 実

(株) 奥村組 技術研究所 正会員 山本和夫 ○森尾 敏

1. まえがき 阪神高速道路において、PC高架道路橋の振動特性を明らかにするために一般走行車両による動的載荷試験を実施し、3次元固有値解析との比較から、検討を加えた。

2. 試験結果 図1に計測器設置場所を示す。図中のF1～F3、

A1～A3は速度型地震計（IMV製VP-9212V,Hおよび振動技研製MTKV,H-1C）で橋脚上に設置されている。I1～I4は超小型加速度計（IMV製VP-4132）でPC主桁下フランジ下端（I1～I3）および橋脚上（I4）に接着されている。D-1,D-8は橋脚張出し部先端のたわみ量を測定する変位計（東京測器研究所製CDP-10）である。試験は図1に示した26成分の同時測定とし、A/D変換は200Hzで行う。

図2～7にパワースペクトルの一例を示す。ここでは、スペクトルウインドウとしてParzenウインドウを採用し、バンド幅を1.0Hzにしている。FFTに使用するデータ数はすべて2048で、スペクトルの縦軸は自己相関の最大値 C_0 （平均パワー）で規準化した値を対数表示する。 C_0 の単位は図2,3ではgal²、図4～7ではkine²である。図2のI1,I4のV成分にみられる3,6,11,20Hz付近ピークは、それぞれ、後の固有値解析（図12）の2次（橋脚橋軸直角方向1次）、4次（主桁対称1次）、9次（橋脚張出し部橋軸直角方向1次）、12次（主桁逆対称1次）に対応していると考えられる。橋脚上のI4では、4次の振幅が低下し、逆に2次が増加する傾向があり、主桁上のI1でみられた12次は消滅する

ようである。固有値解析との対応はそれていらないが、橋脚上で、30Hz付近が卓越する傾向がある。

図3のI2,I3のV成分では、中央の主桁I2で2次の振幅が低下する。本データの走行車両はI1側を通過しているが、I1～I3の C_0 の値を比

図2 I1, I4のV成分

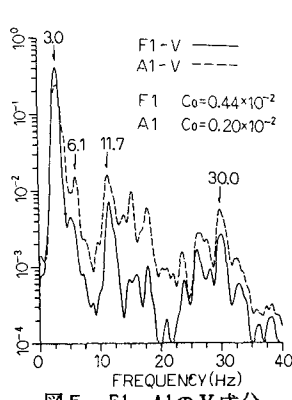


図5 F1, A1のV成分

図3 I2, I3のV成分

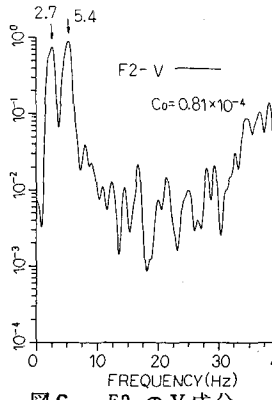


図6 F2 のV成分

図1 計測器設置場所

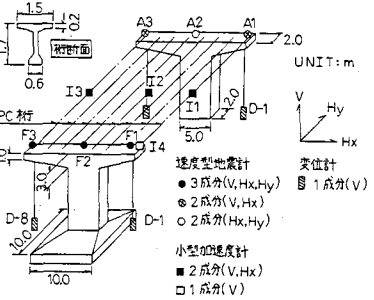


図4 F2, A2のHy成分

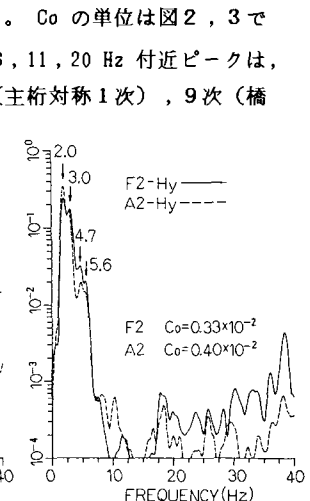
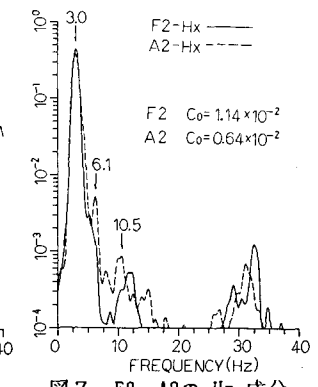


図7 F2, A2のHx成分



べると、車両通過側の I1 の値が大きく表われている。図 4 の F2,A2 の H_y 成分では、固有値解析の 1 次（橋脚橋軸方向 1 次）と考えられる 2.0 Hz にピークがみられる。図 5 は F1,A1 の V 成分で、図 2 の I4-V と図 5 の F1-V を比較すると、2 Hz 以上の振動数域でピーク振動数は正確に一致している。図 6 は F2-V のスペクトルで、縦軸の $10^0 (=1)$ に相当する C_0 の値は非常に小さい。これは、3 Hz 付近の 2 次からは F2 の V 成分がほとんど励起されないためで、相対的に 6 Hz 付近の 4 次が卓越してくる。又、F2-V では、橋脚張り出し部の 1 次と考えられる 11 Hz 付近のピークが目だたなくなる。図 7 は F2,A2 の H_x 成分で、高振動数域の寄与が少ないにもかかわらず、 C_0 の値は 3 成分のなかで H_x 成分が最大である。これには、3 Hz 付近の 2 次の寄与が大きい。

以上述べたピーク振動数での振動形は、スペクトルの傾向、2 成分間の相互相関、振動数毎の相互相関係数であるルートコヒーレンス、フェイズから推定した。一例として、図 8 に F1 と F3 の V および H_z 成分の相互相関関数を示す。V 成分では車両通過側の F1 がわずかに進んでいるが、負の相関、 H_z 成分では正の相関があり、3 Hz 付近の周期性が明らかである。すなわち、橋脚両端は 3 Hz 付近で逆位相の鉛直動、同位相の水平動を呈しており、これは図 12 の 2 次に相当する。図 9 は F2 と A2 の H_y 成分の相互相関で、図 8 に比べ相関性は低下するが、図 12 の 1 次に相当する 2 Hz 付近の周期性が認められる。図 10 は F1 と F3 の V 成分のルートコヒーレンス、フェイズで、両成分のパワースペクトルのピーク振動数を図中に矢印で示している。11 Hz 付近の矢印についてはコヒーレンスの値が低く、フェイズの変動も大きく正確な振動形を推定することは困難であるが、9 次が卓越している可能性が高い。

3. 固有値解析 図 11 に多質点系骨組に置換した解析モデルを示す。橋脚基礎は場所打杭 ($\phi 1m$, 20 本 $\ell = 11m$) であるが、フーチング下端面を固定としてモデル化する。両側上部工の質量は、 $1/2$ スパンの値を主桁位置に集中質量として付加し、部材の慣性モーメントは $m\ell^2/24$ (m : 質量, ℓ : 長さ) を用いる。解析自由度は図中の X, Y, Z とし、回転角は動的に総合する。図 12 に解析結果を示す。この結果は主桁両端の橋脚との境界条件をピン（回転角 θ_x 開放）とした時 (A) のもので、これを片側ピン、他端剛結 (B) および両端剛結 (C) とした場合、4 次（主桁対称 1 次）は B で 5.4 Hz, C で 6.5 Hz, 13 次に表われる主桁逆対称 1 次は、B で 19.0 Hz, C で 20.2 Hz となり、スペクトルのピーク振動数は B と C の中間にある。この主桁両端の境界条件の違いは、2 次にはほとんど影響しないが、1 次は若干変り、B で 2.0 Hz, C で 2.6 Hz である。

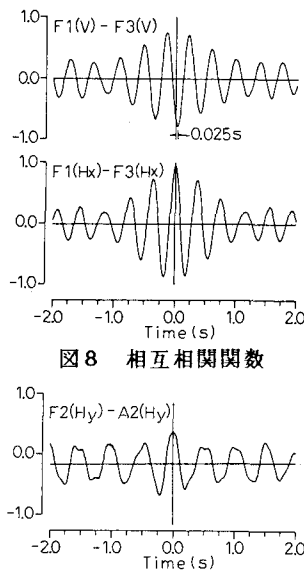


図 8 相互相関関数

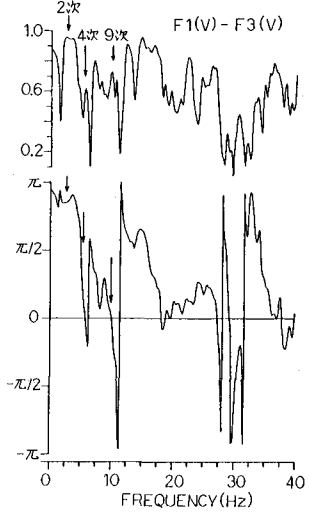


図 10 F1 と F3 の相関

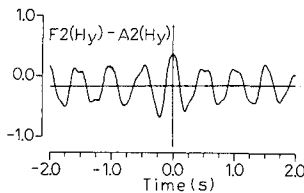


図 9 相互相関関数

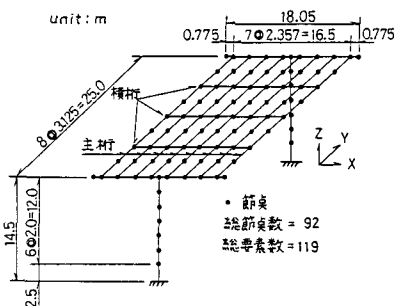


図 11 解析モデル

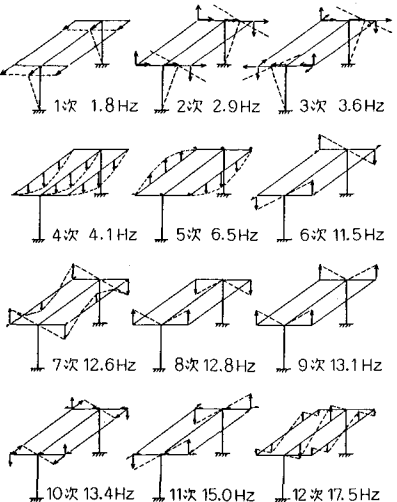


図 12 固有値解析結果 (A)